

## بررسی تاثیر پارامترهای تشعشعی بر تجزیه حرارتی پلی اتیلن در محیط نیتروژن

جواد ابوالفضلی اصفهانی<sup>۱</sup>، علی قرایی عبدالآبادی<sup>۲</sup>

گروه مکانیک، دانشکده مهندسی، دانشگاه فردوسی مشهد، ص پ ۹۱۷۵-۱۱۱۱

[Abolfazl@um.ac.ir](mailto:Abolfazl@um.ac.ir)

### چکیده

در این مقاله، تجزیه حرارتی یک بعدی پلی اتیلن که در معرض شار حرارتی از یک منبع تشعشعی بیرونی قرار گرفته است به صورت عددی مدلسازی شده، و در این مدلسازی تاثیر پارامترهای مختلف تشعشعی نظیر ضرایب جذب، انعکاس، صدور بر این فرایند در یک محیط بدون اکسیژن بررسی شده است. فرایند های مختلفی مانند انتقال حرارت هدایتی، تجزیه در عمق جسم، جابجایی گازهای فرار، جذب تشعشع در عمق جسم، تشعشع از سطح و انعکاس از سطح جسم که در تجزیه حرارتی پلیمرها موثر هستند در مدلسازی وارد شده اند. نتایج نشان می دهد که ضریب انعکاس موثرتر از ضرایب دیگر در تجزیه حرارتی پلی اتیلن می باشد. ضریب صدور تاثیر ضعیف ولی مشابه ضریب انعکاس دارد و ضریب جذب در عمق بیشترین تاثیر خود را در توزیع دمای داخل قطعه می گذارد. نتایج بدست آمده از حل عددی برای شار تشعشعی  $40 \text{ kW} / \text{m}^2$  تطابق خوبی با نتایج آزمایشگاهی موجود دارد.

**واژه های کلیدی:** تجزیه حرارتی - پلی اتیلن - ضریب انعکاس - ضریب جذب - ضریب صدور.

### ۱- مقدمه

تنوع خواص و ویژگهای منحصر به فرد پلیمر ها از قبیل مقاومت بالا، سبکی وزن، قابلیت شکل پذیری به اشکال پیچیده، سهولت فرایند پذیری و سفارشی سازی از طریق ایجاد ساختمانهای شیمیایی مخصوص و استفاده از افروزنهای، منجر به افزایش روز افزون تقاضا نسبت به اینگونه مواد در بازارهای مصرف گردیده است. مواد پلیمری هم اکنون کاربردهای صنعتی گسترده ای در ساخت بدن ها هواپیما، وسایل حمل و نقل ، ساختمان سازی ، لوازم منزل، بردهای الکتریکی، رنگهای روغنی و بسیاری مصارف گوناگون دیگر دارد. از آنجا که پلیمرها حاوی پتانسیل قابل توجهی از سوخت هستند، قابلیت اشتعال نسبتا بالایی دارند، بعلاوه بسیاری از فرایندهای مرتبط با پلیمرها درگیر حرارتی های بالا است که باعث تسریع سازوکار احتراق می شود. گستردگی کاربرد این مواد لزوم تحقیق در مبحث اینمی آتش را افزون گردانده است. در نتیجه هر گونه تلاشی در جهت فهم بیشتر چگونگی رفتار احتراقی اینگونه مواد نه تنها از لحاظ تئوریک ارزشمند است بلکه در توسعه و ساخت مواد مقاوم در برابر آتش و دستگاههای تشخیص و جلوگیری از نفوذ آتش موثر است. لذا تا کنون تحقیقات تجربی و مطالعات عددی بسیاری در جهت شناخت خواص، چگونگی آغاز احتراق و رفتار احتراقی پلیمرها، سوختن آنها در محیط آتش، پارامترهای موثر و سازوکارهای درگیر با پدیده احتراق صورت گرفته است. بطور مثال هالمن (Hallman) [۱] به مطالعه ضرایب جذب متوسط پلیمرها پرداخته و نشان داده است که این ضریب بر حسب نوع پلیمر و شدت منبع تشعشعی خارجی تغییر می کند. یانگ ات

۱- دانشیار

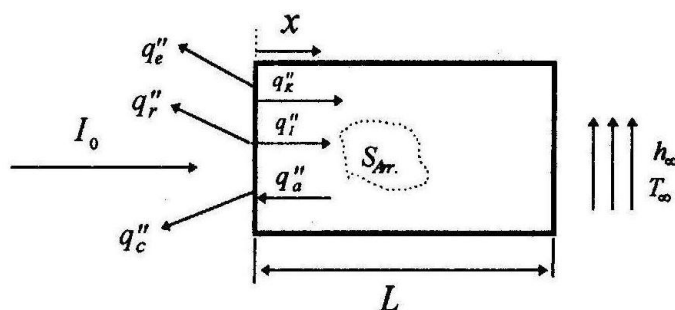
۲- دانشجوی کارشناسی ارشد، تبدیل انرژی

ال (Young et al.) [۲] به بررسی خواص فیزیکی و تاثیر ترکیبات مختلف بر پلیمر PMMA پرداخته است. کاشیوگی (Kashiwagi) [۳] در یک تحقیق تجربی به مطالعه تاثیر شار تشعشعی برخوردی بر تجزیه حرارتی پلیمرها پرداخت. مدادک (Modak) [۴] نیز نشان داد با باقی ماندنی خاکستر بر سطح پلیمر PMMA ضریب عبور تشعشع در عمق به تدریج کاهش یافته و بنابراین جذب سطحی افزایش پیدا می‌کند.

در این مقاله هدف بررسی تاثیر پارامترهای تشعشعی نظری ضرایب جذب، انعکاس و صدور بر تجزیه حرارتی پلی اتیلن می‌باشد و همچنین تاثیر مقادیر مختلف شار تشعشعی نیز بررسی شده است. برای این منظور معادلات حاکم بر پدیده تجزیه حرارتی پلیمر نوشته شده است و به روش حجم کنترلی گستته گشته و به دسته معادلات جبری تبدیل گردیده اند و سپس معادلات به روش ماتریس سه قطری محاسبه می‌گردند. نتایج حاصل از مدلسازی عددی برای شار  $40kW/m^2$  و خواص پلی اتیلن با نتایج تجربی ارائه شده توسط کاشیوگی و اهلیملر (Kashiwagi and Ohlemiller) [۵] برای پلی اتیلن مقایسه شده و تطابق خوبی را نشان می‌دهد.

## ۲- مدل فیزیکی

یک قطعه سوخت جامد پلیمری از جنس پلی اتیلن به طور عمودی قرار گرفته است و در معرض تشعشع حرارتی از سمت چپ خود می‌باشد. همزمان هر دو سوی نمونه با جریان جابجایی آزاد خنک می‌شود. علاوه هر دو سمت نمونه از طریق تشعشع بخشی از حرارت خود را به محیط می‌دهد. ضخامت نمونه ۱۵mm فرض شده و با فرض اثرات لبه ای ناچیز از سایر ابعاد صرف نظر گردیده است. در واقع از مدل فیزیکی گذرا یک بعدی در راستای ضخامت قطعه استفاده شده است. قطعه قبل از شروع تشعشع گرمایی در تعادل دمایی با هوای محیط قرار دارد. محیط کاملاً بدون اکسیژن فرض شده است. همچنان که فطعه توسط منبع خارجی گرم می‌شود، بخشی از انرژی تابشی در عمق جسم جذب می‌شود. زمانیکه دمای قسمتهای مختلف نمونه به حد معینی رسید تجزیه حرارتی آغاز می‌شود و گازهای تولید شده به شکل حباب به سطح جسم حرکت می‌کنند و محتوای خود را به محیط تخلیه می‌کنند. شکل زیر نمایی از مدل فیزیکی می‌باشد.



شکل ۱- نمایی از مدل فیزیکی

در شکل بالا  $I_0$  مقدار شار تشعشعی ثابت است که از یک منبع گرم به جسم می‌تابد،  $q_e''$  مقدار شار انرژی حرارتی است که از سطح جسم به واسطه ضریب صدور سطح ( $\epsilon$ ) صادر می‌شود،  $q_c''$  مقدار شار انرژی حرارتی است که به واسطه جابجایی آزاد از سطح جسم خارج می‌شود،  $q_r''$  مقدار شار انرژی حرارتی است که از سطح جسم منعکس می‌شود،  $q_k''$  مقدار شار تشعشعی است که در عمق جسم نفوذ می‌کند و مقدار آن از قانون بیر بدست می‌آید،  $q_a''$  مقدار شار انرژی حرارتی است که به واسطه انتقال حرارت هدایتی در داخل جسم نفوذ می‌کند،  $q_{Arr}$  مقدار برداشت انرژی حرارتی است که توسط تجزیه حرارتی از جسم گازهای فرار حاصل از تجزیه از سطح جسم خارج می‌شود. میزان جرم رها شده توسط تجزیه، بیان می‌گردد. جرم تجزیه شده نیز توسط قانون آرنهیوس (Arrhenius) بیان می‌شود.

### ۳- فرضیات مدل ریاضی

در مدل ارئه شده از ذخیره جرم و انرژی، تجزیه نوری و اثرات ذوب صرفنظر شده است. بعلاوه فرض شده است که تمامی خواص حرارتی پلیمر جامد ثابت باشد. از تغییرات فشار در محیط بدليل اعداد ماخ پایین و سرعتهای کم چشم پوشی شده است. هیچگونه تغییر طولی برای قطعه اتفاق نمی افتد و از انبساط قطعه به علت تغییر دما چشم پوشی شده است.

### ۴- مدل ریاضی

با در نظر گیری یک حجم کنترل حول قطعه پلی اتیلنی معادله انرژی به شکل زیر در می آید که یک معادله با مشتقات جزئی می باشد.

$$-\frac{\partial q_I''}{\partial x} - \frac{\partial q_k''}{\partial x} + S_{Arr} = \frac{\partial \rho_s C_s T}{\partial t} + \frac{\partial m'' \cdot H}{\partial x} \quad (1)$$

$q_I''$  معرف مقدار حرارت تشعشعی نفوذ کرده در عمق جسم می باشد که مقدار آن از قانون بیر(beer) [۶] با رابطه زیر محاسبه می گردد.

$$q_I'' = I_0 (1 - r) \exp(-\beta_s x) \quad (2)$$

$r$  در این رابطه ضریب انعکاسی و  $\beta_s$  نیز ضریب جذب عمقی ماده می باشد.  $q_K''$  نیز طبق قانون فوریه [۷] معرف میزان گرمای منتقل شده توسط هدایت می باشد، که با رابطه زیر محاسبه می گردد و  $K$  در آن ضریب هدایت حرارتی قطعه پلیمری می باشد.

$$q_K'' = -K \frac{\partial T}{\partial x} \quad (3)$$

مقدار انرژی مصرفی جهت فرایند تجزیه حرارتی نیز با  $S_{Arr}$  نشان داده شده است :

$$S_{Arr} = -m'' \cdot L \quad (4)$$

$L$  در اینجا معرف گرمای واکنش است و  $m''$  نیز معرف نرخ جرمی می باشد. علامت منفی در این رابطه بیانگر جذب انرژی است و مانند یک چاه حرارتی عمل می کند. نرخ واکنش طبق قانون آرهنیوس(Arrhenius) [۸] دارای تعریف زیر است که در این رابطه  $A_s$  فاکتور فرکانسی،  $E_s$  انرژی فعال سازی واکنش و  $R$  نیز ثابت جهانی گازها می باشد.

$$m'' = A_s \rho_s \exp\left(-\frac{E_s}{RT_s}\right) \quad (5)$$

کاشیوagi (Kashiwagi) [۵] در نتایج تجربی خود نشان داد که نرخ واکنش علاوه بر دما تابعی از غلظت اکسیژن نیز می باشد. لذا رابطه فوق در این مدلسازی به صورت زیر اصلاح می شود که در آن  $a$  و  $n$  ثابت و  $Yo_{surf}$  غلظت اکسیژن روی سطح می باشد.

$$m'' = A_s \exp\left(-\frac{E_s}{RT_s}\right) \rho_s (a + Yo_s)^n \quad (6)$$

که برای پلی اتیلن :

$$a = 1.5 \quad n = 8$$

$v_s$  بیانگر مقدار انرژی انتقال یافته توسط جابجایی گازهای متصاعد شده می باشد.  $H$  آنتالپی گاز متصاعد شده و  $v_s$  نیز شار جرمی عبوری از عمق  $l$  پلیمر می باشد که با انتگرال گیری از نرخ جرمی واکنش در عمق قطعه محاسبه می شود.

$$H = C_{pg} T \quad (7)$$

$$v_s = - \int_{ls}^l m'' dx \quad (8)$$

با جایگزینی روابط (۲) تا (۶) در معادله (۱) معادله دیفرانسیل زیر بدست می آید :

$$\frac{\partial \rho_s C_s T}{\partial t} + v_s C_{pg} \frac{\partial T}{\partial x} = \kappa \frac{\partial^2 T}{\partial x^2} + I_0 (1-r) \beta_s \exp(-\beta_s x) + m'' L \quad (9)$$

شرایط مرزی برای معادله دیفرانسیل با مشتقات جزئی بالا به صورت زیر می باشد :

$$x = 0 \quad -\kappa \frac{\partial T}{\partial x} + \varepsilon \sigma (T_{surf}^4 - T_\infty^4) + h_c (T_{surf} - T_\infty) = 0 \quad (10)$$

$$x = l_s \quad -\kappa \frac{\partial T}{\partial x} = \varepsilon \sigma (T_{x=l_s}^4 - T_\infty^4) + h_c (T_{x=l_s} - T_\infty) \quad (11)$$

$$t = 0 \quad T = T_\infty \quad (12)$$

که در روابط بالا  $h_c$  ضریب انتقال حرارت جابجایی آزاد روی سطح قطعه،  $T_\infty$  دمای محیط و  $T_{surf}$  دمای سطح قطعه پلیمری می باشد که در معرض شار تشعشعی می باشد.  $h_c$  از قانون سرمایش نیوتون برای صفحه تخت عمودی [۹] بدست می آید که با فرض ثابت بودن خواص هوا رابطه آن به شکل زیر بدست می آید :

$$h_c = 1.87 (T_s - T_\infty)^{0.25} \quad (13)$$

## ۵- مدل عددی

برای حل معادلات جبری بدست آمده از گسسته سازی معادلات بقا به روش حجم کنترل از الگوریتم حل ماتریس سه قطری(TDMA) که شرح آن در مرجع [۱۰] آمده استفاده شده و برنامه آن به زبان فرترن (Fortran) نوشته شده است. همچنین به منظور حذف خصلت غیر خطی ترمehای جابجایی و چشمeh آرهنیوس در معادله انرژی وتشعشع از سطح، این ترمeh با استفاده از مقادیر قبلی خود به شکل مناسبی خطی گشته اند تا بتوان از الگوریتم حل سه قطری اسفاده نمود. در هر گام زمانی معادلات تا رسیدن به معیار همگرایی مناسب با قرار دادن کمیات محاسبه شده از حل در معادلات گرهی ومحاسبه میانگین مجموع خطاهای بدست آمده تعریف شده است که مقدار آن برای معادله انرژی  $0.001$  می باشد حل می گردند و سپس با جایگزینی مقادیر کمیات همگرای بدست آمده بعنوان به مقادیر اولیه برای گام زمانی بعد، حل در طول زمان تا رسیدن به زمان توقف برنامه پیش می رود. تعداد گره در نظر گرفته شده  $201$  و گام زمانی  $1$  ثانیه می باشد.

## ۶- خواص پلی اتیلن

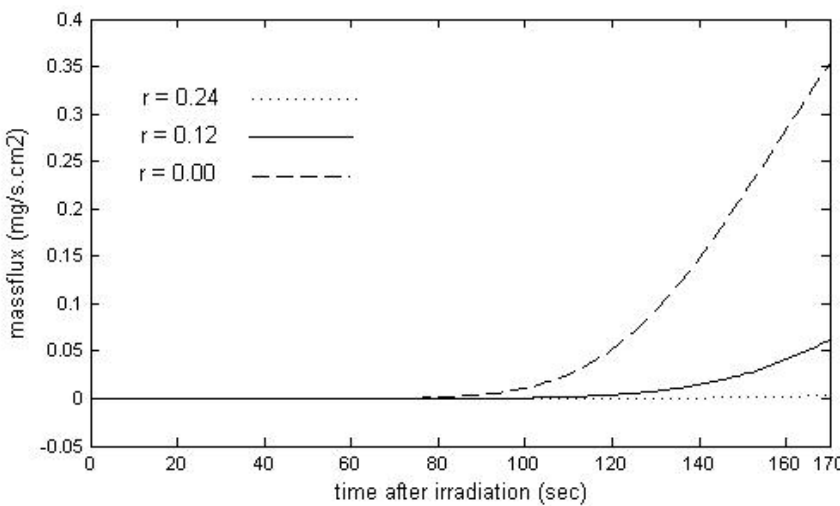
خواص ترموفیزیکی و هندسی پلیمر پلی اتیلن در جدول زیر ارائه شده است و مقادیر این خواص از مرجع [۱۱] می باشند.

جدول ۱- خواص ترموفیزیکی و هندسی پلیمر PE

خاصیت	مقدار	واحد
$\rho_s$	۸۰۱	$kg/m^3$
$c_s$	۲۳۰۰	$J/kg.k$
$K_s$	۰/۳۳	$W/m^2.k$
$L$	۴۱۴	$kJ/mole$
$\beta_s$	۲۳۰۰	$1/m$
$\varepsilon$	۰/۸۸	-
$r_0$	۰/۱۲	-
$A_s$	۳۵۱۶	$l/s$
$E_s$	۲۶۴۰	$kJ/kg$
$l_s$	۰/۰۱۵	$m$

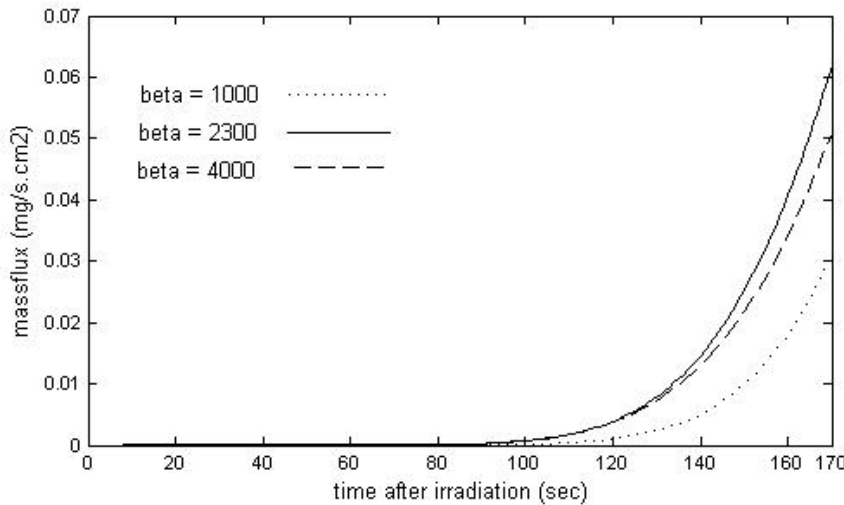
## ۶- نتایج

در این بخش نتایج به صورت نمودارهای شار جرمی و دمای سطح بر حسب زمان و برای مقادیر مختلف پارامترهای تشعشعی ارائه شده است. همچنین توزیع دمای داخل قطعه پلی اتیلن برای مقادیر مختلف این خواص مورد بررسی قرار گرفته است. شار جرمی، دمای سطح و توزیع دما در داخل قطعه برای شار تشعشعی  $m^2 / kW$  ۴۰ و خواص پلی اتیلن در جدول ۱ ارائه شده است، سپس برای دو مقدار مختلف پارامتر تشعشعی که یکی بزرگتر از مقدار داخل جدول ویکی کوچکتر از مقدار داخل جدول می باشد نتایج رسم شده اند تا تاثیر کاهش یا افزایش هر کدام از این پارامترها بر تجزیه حرارتی پلی اتیلن مشخص شود.



شکل ۲- نمودار تغییرات شار جرمی برداشت شده از سطح PE بر حسب زمان تشعشع برای مقادیر مختلف ضریب انعکاس

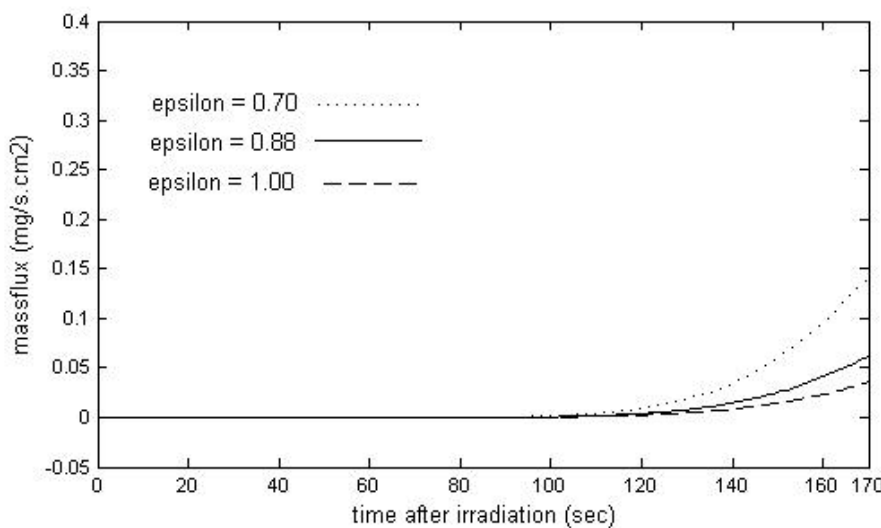
نتایج ارائه شده در نمودارهای ۲ تا ۵ نشان دهنده شار جرمی خارج شده از سطح قطعه پلی اتیلنی بر حسب زمان تشعشع بر حسب مقادیر مختلف پارامترهای تشعشعی می باشد. همانطور که در شکل ۲ مشاهده می شود نمودار شار جرمی بر حسب زمان برای سه مقدار مختلف ضریب انعکاس سطح رسم شده است و نشان می دهد که با کاهش ضریب انعکاس از  $0/0\cdot12$  به  $0/0\cdot055$  از  $170$  ثانیه به  $0/0\cdot35$  می رسد و با افزایش  $0/0\cdot24$  از  $0/0\cdot055$  به  $0/0\cdot00$  شار جرمی از  $0/0\cdot12$  به  $0/0\cdot00$  افزایش و کاهش در شار جرمی به دلیل افزایش و کاهش شار تشعشعی ورودی است که منجر به افزایش و کاهش دمای قطعه پلی اتیلنی شده و در نتیجه طبق رابطه آرهنیوس که شار جرمی با دما رابطه مستقیم دارد شار جرمی افزایش و کاهش پیدا می کند.



شکل ۳- نمودار تغییرات شار جرمی برداشت شده از سطح PE بر حسب زمان تشعشع برای مقادیر مختلف ضریب جذب در عمق

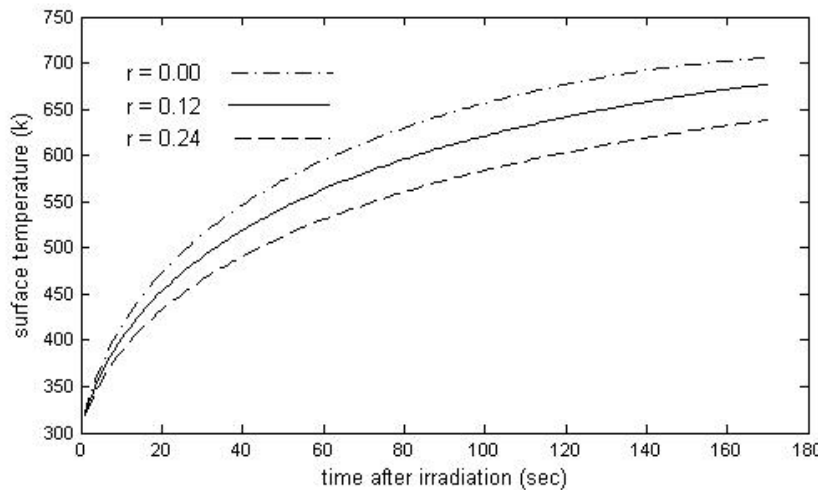
نمودار ۳ نشان دهنده تغییرات شار جرمی بر حسب زمان برای مقادیر مختلف ضریب جذب در عمق می باشد. با مشاهده شکل ۳ می توان دریافت که با افزایش و یا کاهش ضریب جذب در عمق شار جرمی کاهش پیدا می کند. اما میزان کاهش شار جرمی به واسطه افزایش  $\beta$  بیشتر می باشد. این امر بدان دلیل است که با افزایش  $\beta$  تشعشع تا عمق کمتری از جسم نفوذ می کند و لذا باعث می شود که در زمان  $170$  ثانیه منطقه کوچکتری از قطعه پلیمری به دمای تجزیه و تولید

گازهای فرار بر سد و در نتیجه شار جرمی به شدت کاهش پیدا می کند. اما با کاهش ضریب جذب در عمق از ۲۳۰۰ به ۱۰۰۰ باعث می شود که انرژی برخورده به سطح جسم تا عمق بیشتری نفوذ و انرژی در طول قطعه پخش شود در نتیجه دمای قسمتهای مختلف قطعه مخصوصا نزدیک سطح افزایش کمتری نسبت به حالت قبل دارند، در نتیجه نرخ تجزیه کمتر خواهد بود و به طبع آن شار جرمی کاهش پیدا می کند.



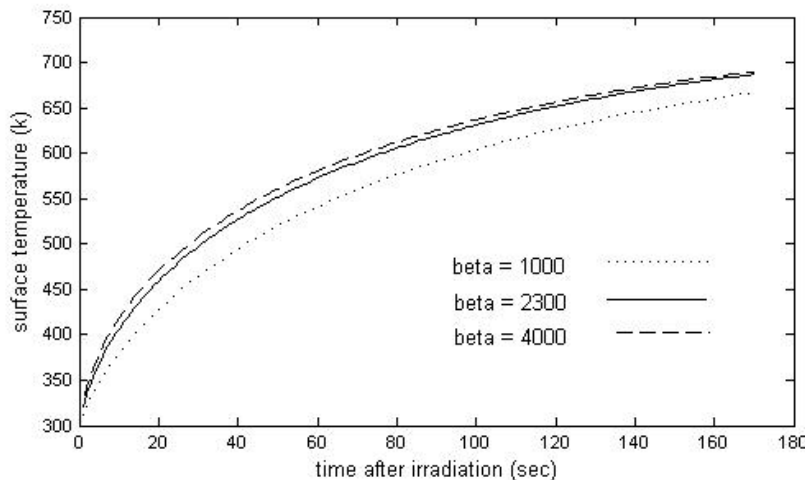
شکل ۴- نمودار تغییرات شار جرمی برداشت شده از سطح PE بر حسب زمان تشعشع برای مقادیر مختلف ضریب صدور

شکل ۴ نشان دهنده تغییرات شار جرمی بر حسب زمان برای مقادیر مختلف ضریب صدور می باشد. همانطور که در جدول ۱ نشان داده شده است مقدار ضریب صدور برای پلی اتیلن برابر  $0.88/0.055$  می باشد که شار جرمی  $0.055/0.88$  را بعد از ۱۷۰ ثانیه سبب می شود. با تغییر این ضریب از  $0.88/0.055$  به  $0.055/0.035$  مقدار شار از  $0.035/0.055$  تغییر می کند و با کاهش آن از  $0.035/0.055$  به  $0.055/0.014$  مقدار شار جرمی از  $0.014/0.055$  به  $0.055/0.014$  افزایش پیدا می کند. با توجه به فیزیک مساله، با افزایش دمای سطح تشعشع از سطح به محیط اطراف انجام می شود. هر چه این تشعشع بیشتر باشد دمای قطعه پایینتر خواهد بود، لذا با افزایش ضریب صدور میزان تشعشع از سطح جسم افزایش پیدا می کند و دمای قطعه پایینتر می آید و منجر به کاهش شار جرمی می شود و بلعکس با کاهش ضریب صدور تشعشع از سطح کاهش و لذا دما و به طبع آن شار جرمی افزایش پیدا می کند.



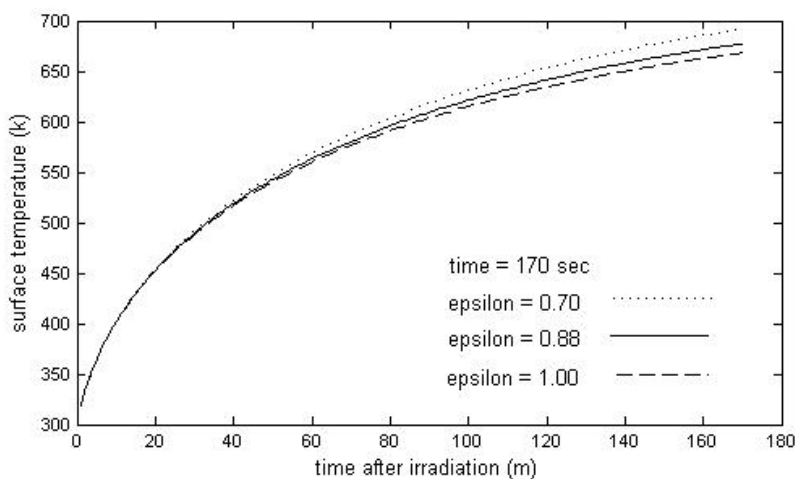
شکل ۵- نمودار تغییرات دمای سطح PE بر حسب زمان تشعشع برای مقادیر مختلف ضریب انعکاس

شکل ۵ تغییرات دمای سطح پلی اتیلن را که در معرض تشعشع است بر حسب زمان برای مقادیر مختلف ضریب انعکاس نشان می‌دهد. تغییر این ضریب از  $0/0$  به  $0/0$  باعث افزایش دمای سطح از  $675$  درجه کلوین به  $705$  درجه کلوین می‌شود و افزایش ضریب انعکاس از  $0/12$  به  $0/24$  منجر به کاهش دمای سطح از  $675$  به  $640$  درجه کلوین پس از  $170$  ثانیه می‌شود. همانطور که اشاره شد با افزایش ضریب انعکاس سطح میزان انرژی نفوذ کننده به داخل قطعه پلی اتیلنی کاهش پیدا می‌کند لذا دمای سطح پلی اتیلن کاهش پیدا می‌کند و بلعکس در صورت کاهش ضریب انعکاس انرژی نفوذی به داخل جسم افزایش پیدا کرده و به طبع آن دمای سطح پلی اتیلن افزایش پیدا می‌کند.



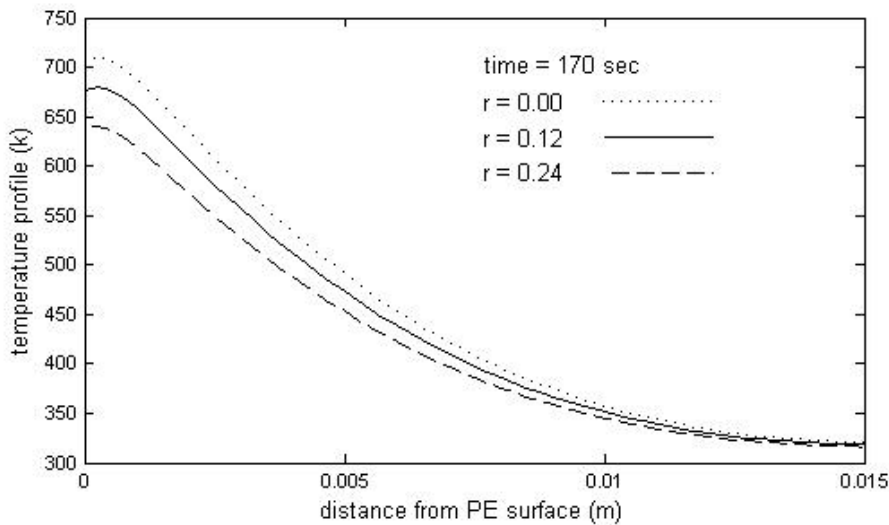
شکل ۶- نمودار تغییرات دمای سطح PE بر حسب زمان تشعشع برای مقادیر مختلف ضریب جذب در عمق

تأثیر ضریب جذب در عمق بر روی دمای سطح پلی اتیلن در شکل ۶ مشاهده می‌شود. دمای سطح برای ضریب جذب در عمق  $2300\text{ m}^{-1}$  پس از  $170$  ثانیه  $675$  درجه کلوین می‌باشد. با افزایش ضریب جذب از  $2300\text{ m}^{-1}$  به  $4000\text{ m}^{-1}$  باعث افزایش جذب شده در لایه نزدیک سطح افزایش پیدا کرده و در نتیجه دمای سطح افزایش پیدا می‌کند و به  $680$  می‌رسد. دلیل افزایش ناچیز دمای سطح این است که با افزایش دمای سطح تشعشع از سطح نیز افزایش پیدا کرده که با فرایند جذب بیشتر در سطح مقابله می‌کند و از افزایش زیاد دما جلوگیری می‌کند. کاهش ضریب جذب در عمق از  $2300\text{ m}^{-1}$  به  $1000\text{ m}^{-1}$  باعث می‌شود که دمای سطح در حدود  $25$  درجه کاهش پیدا کند زیرا انرژی ورودی به قطعه به عمق بیشتری نفوذ می‌کند و در طول بیشتری از قطعه توزیع می‌شود.



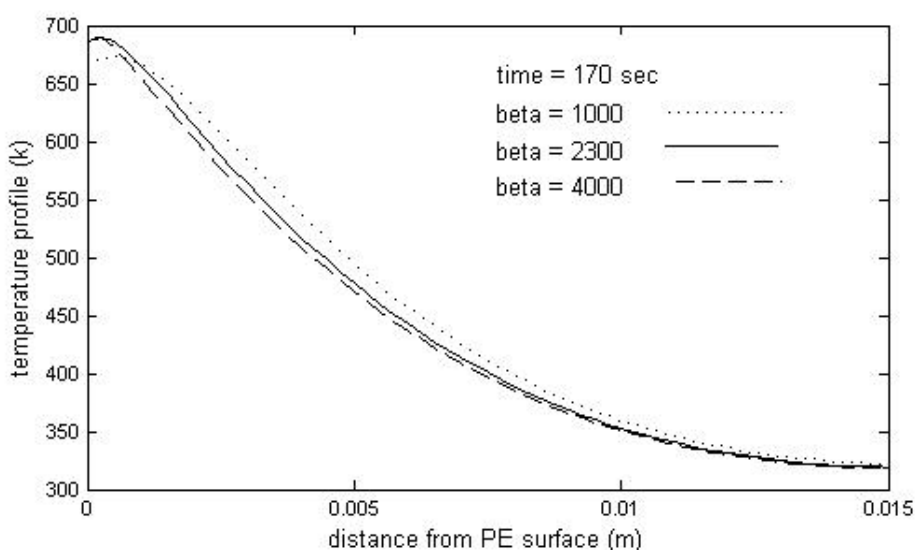
شکل ۷- نمودار تغییرات دمای سطح PE بر حسب زمان تشعشع برای مقادیر مختلف ضریب صدور

شکل ۷ نشان دهنده نتایج برای دمای سطح و بر حسب مقادیر مختلف ضریب صدور رسم شده است. ضریب صدور بر روی میزان تشعشع از سطح تاثیر می‌گذارد و با کاهش یا افزایش آن در یک اختلاف دمای ثابت میزان تشعشع از سطح به ترتیب باعث کاهش و افزایش تشعشع از سطح می‌شود. لذا همانطور که در نمودار ۷ مشاهده می‌شود با افزایش این ضریب از ۰/۸۸ به ۱ دمای سطح به دلیل افزایش انرژی تشعشعی خروجی از سطح از ۶۷۵ به ۶۶۵ کاهش پیدا می‌کند و بلعکس با کاهش ضریب صدور از ۰/۸۸ به ۰/۷ دمای سطح را حدوداً ۲۰ درجه افزایش می‌دهد.



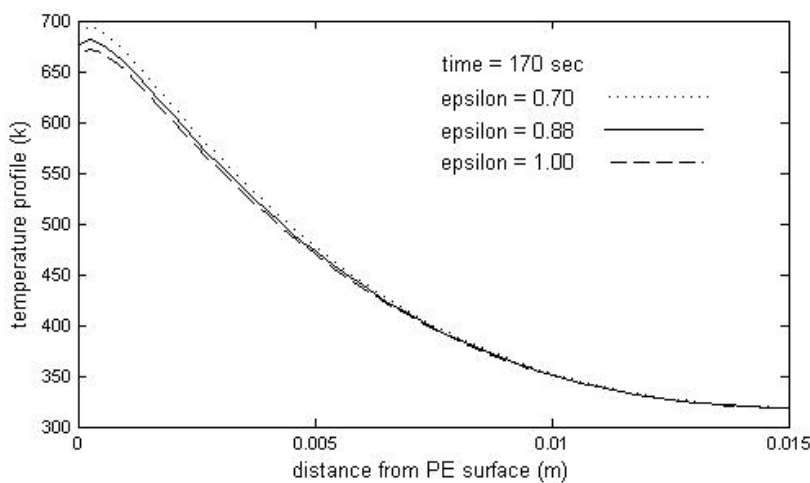
شکل ۸- نمودار توزیع دما در داخل قطعه PE برای مقادیر مختلف ضریب انعکاس

تغییرات توزیع دمای داخل پلی اتیلن برای مقادیر مختلف ضریب انعکاس در شکل ۸ نشان داده شده است. با افزایش ضریب انعکاس به علت کاهش انرژی تشعشعی ورودی به قطعه دمای کلیه نقاط داخل قطعه کاهش پیدا می‌کند. که این کاهش دما در سطح ماکریم می‌باشد و هرچه به سمت انتهای قطعه پیش برویم کمتر می‌شود. همچنین با کاهش ضریب انعکاس به علت افزایش انرژی ورودی به داخل قطعه دمای قطعه افزایش پیدا می‌کند. ماکریم اختلاف دمای ایجاد شده در سطح و در حدود ۳۰ درجه کلوین می‌باشد.



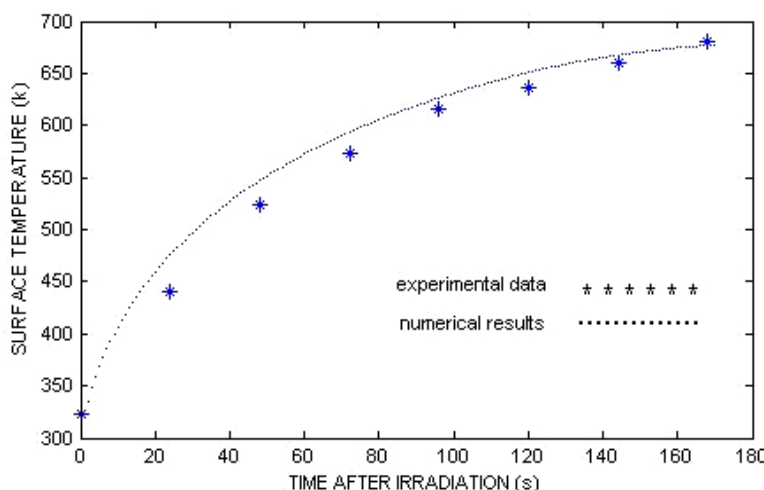
شکل ۹- نمودار توزیع دما در داخل قطعه PE برای مقادیر مختلف ضریب نفوذ در عمق

شکل ۹ توزیع دمای داخل قطعه پلی اتیلن را در زمان ۱۷۰ ثانیه پس از شروع تشعشع بر حسب مقادیر مختلف ضریب جذب در عمق نشان می‌دهد. با افزایش ضریب جذب از  $m^{-1}$  به  $2300 m^{-1}$  جذب انرژی در سطح افزایش یافته و ماکریم دمای قطعه در سطح اتفاق می‌افتد، که مقدار آن ۶۸۰ درجه کلوین می‌باشد. با کاهش ضریب جذب ماکریم دما به سمت عمق جسم حرکت می‌کند. هر چه این ضریب بیشتر کاهش پیدا می‌کند ماکریم دما در عمق بیشتری از قطعه اتفاق می‌افتد زیرا انرژی به عمق بیشتری از جسم نفوذ پیدا می‌کند و چون از سطح جسم تشعشع و جابجایی به محیط انجام می‌شود دما در سطح جسم پایینتر از لایه‌های مجاور می‌آید. همچنین با مشاهده شکل ۹ می‌توان دریافت که با کاهش ضریب جذب از  $2300 m^{-1}$  به  $1000 m^{-1}$  دمای داخل قطعه تا عمق ۱mm کاهش واژ عمق  $1mm$  به بعد افزایش پیدا می‌کند و همچنین با افزایش ضریب از  $1000 m^{-1}$  به  $2300 m^{-1}$  دمای تا عمق  $5mm$  افزایش واژ آن به بعد کاهش پیدا می‌کند.



شکل ۱۰- نمودار توزیع دما در داخل قطعه PE برای مقادیر مختلف ضریب صدور

در شکل ۱۰ که تغییرات توزیع دمای داخل قطعه را بر حسب مقادیر مختلف ضریب صدور نشان می‌دهد می‌توان مشاهده کرد که کاهش ضریب صدور از  $0.88$  به  $0.70$  باعث کاهش توزیع دمای داخل قطعه می‌شود و ماکریم اختلاف دمایی در حدود ۱۰ درجه کلوین را که در سطح اتفاق می‌افتد ایجاد می‌کند. با کاهش این ضریب از  $0.88$  به  $0.70$  توزیع دمای داخل قطعه افزایش پیدا می‌کند. همچنین با کاهش ضریب صدور به علت کاهش تشعشع از سطح ماکریم دما به سطح نزدیکتر می‌شود.



شکل ۱۱- نمودار تغییرات دمای سطح بر حسب زمان تشعشع مقایسه نتایج عددی و آزمایشگاهی [۵]

در شکل ۱۱ تغییرات دمای سطح پلی اتیلن بر حسب زمان تشعشع بدست آمده از مدلسازی عددی با نتایج آزمایشگاهی مقایسه شده است. نتایج نشان می دهد که ماکریزم اختلاف دما در زمانهای بین ۲۰ تا ۶۰ ثانیه و مقدار آن برابر ۲۵ درجه کلوین می باشد.

## ۷- نتیجه‌گیری

نتایج نشان می دهنند که افزایش ضریب انعکاس سطح باعث کاهش قابل ملاحظه دمای سطح و همچنین کاهش دما در عمق جسم می شود که منجر به کاهش شدید شار جرمی خروجی از سطح پلی اتیلن می شود و کاهش ضریب انعکاس باعث افزایش دما در قطعه و به طبع آن افزایش شار جرمی می شود. همچنین مشاهده شد که با افزایش ضریب صدور دمای سطح و دمای عمق قطعه کاهش پیدا می کند که این امر باعث کاهش شار جرمی می شود و همچنین موجب می شود که دمای ماکریزم در فاصله بیشتری از سطح قطعه اتفاق بیافتد. با کاهش ضریب صدور دما و شار جرمی خروجی از سطح افزایش می یابد. افزایش مقدار ضریب جذب در عمق پلی اتیلن باعث افزایش دمای سطح و کاهش دما در عمق می شود و همچنین موجب نزدیک شدن دمای ماکریزم به سطح می شود. از سوی دیگر کاهش ضریب جذب منجر به نفوذ انرژی تشعشعی به عمق بیشتر، کاهش دمای سطح و افزایش دما در عمق می شود. با نگاهی به کل نتایج می توان مشاهده کرد که تغییر در ضریب انعکاس تاثیر بیشتری بر توزیع دما و شار جرمی پلی اتیلن نسبت به ضرایب مورد بررسی دیگر می گذارد، که علت آن تاثیر مستقیم این ضریب بر میزان شار تشعشعی ورودی به قطعه پلی اتیلنی می باشد.

## مراجع

- 1 - Hallman J., Wellker J.R, Slipcevich C.M, "Ignition of polymers", SPE Journal, 28, pp 43-47 (1972)
- 2- Young R., Dukat M., Malmasi L., " Stimulus properties of PMMA: effect of optical isomers and conformational restriction", Pharma Cology Biochemistry and Behavior, 64, No. 2, pp 449-453 (1999)
- 3 - Kashiwagi T., "Effect of sample orientation on radiative ignition", Combustion and Flame, 44, pp 223-245 (1982)
- 4 - Modak A.T., and Croce P.A., "Plastic pool fire", Combustion and Flame, 30, pp 251-265 (1997)
- 5 - Kashiwagi T., and Ohlemiller T.J., "A study of oxygen effects on nonflaming transient gasification of PMMA and PE during thermal degradation", Nineteenth Symposium (International) on Combustion/The Combustion Institute, pp 815-823 (1982)
- 6 - Michael M.F, "Heat – Radiation and absorption", NewYork, McGraw-Hill (1993)
- 7 - Benjamin G., "Heat conduction and absorption", NewYork, McGraw-Hill (1993)
- 8 - Glassman I., "Combustion", 3<sup>th</sup> Edition, Academic Press (1993)
- 9 - Kreith F., and Bohn M.S., "Principle of heat transfer", 5<sup>th</sup> Edition, PWS Publishing co., Minneapolis (1997)
- 10- Patankar S.V., "Numerical heat transfer and fluid flow", Hemisphere (1980)
- ۱۱ - برنانک م، "تجزیه و تحلیل عددی تاثیر اکسیژن بر فرایند تجزیه حرارتی پلیمرها" ، پایان نامه کارشناسی ارشد، رشته مکانیک تبدیل انرژی ، دانشگاه فردوسی مشهد، (۱۳۸۰)